

Consideriamo un punto materiale di massa  $m$  che si muove sotto l'azione di una forza  $\vec{F}$  diretta lungo una retta  $\gamma$  e supponiamo che dipenda solo dalla posizione del punto su  $\gamma$ .  
Fissato un sistema di riferimento  $Oxyz$  con asse  $Ox$  lungo  $\gamma$  si ha

$$(1) \quad \begin{aligned} m\ddot{x} &= F(x) \\ m\ddot{y} &= 0 \\ m\ddot{z} &= 0 \end{aligned}$$

Supponiamo  $F \in C^1$  (funzione di classe  $C^1$ ) su un intervallo  $(a, b)$  con eventualmente  $a = -\infty, b = +\infty$ . Allora vale il teorema di esistenza e unicità locale della soluzione per l'equazione differenziale (1), o meglio, per il sistema

$$\begin{cases} \dot{x} = v \\ \dot{v} = \frac{1}{m} F(x) = \varphi(x) \end{cases} \quad \begin{cases} x(0) = x_0 \\ v(0) = v_0 \end{cases} \quad t \mapsto x(t)$$

In alcuni casi semplici (es.  $F(x) = -kx$ , oscillatore armonico) la soluzione si trova esplicitamente per ogni scelta dei dati iniziali; tuttavia nella maggioranza dei casi non è possibile ed è necessario condurre un'analisi qualitativa.

Questi sistemi ad un grado di libertà hanno sempre un integrale primo. Infatti se  $E(x, v)$  è una funzione  $C^1$

$$\frac{dE}{dt} = \frac{\partial E}{\partial x} \dot{x} + \frac{\partial E}{\partial v} \dot{v} = \frac{\partial E}{\partial x} v + \frac{\partial E}{\partial v} \varphi(x)$$

e quindi si ottiene  $\dot{E} = 0$  ponendo, per esempio

$$\frac{\partial E}{\partial x} = -\varphi(x) \quad \frac{\partial E}{\partial v} = v$$

da cui

$$E(x, v) = \frac{1}{2} v^2 - \int \varphi(x) dx$$

I due addendi di  $E$  possono essere interpretati come

- energia cinetica (per unità di massa):  $T(v) = \frac{1}{2} v^2$

- energia potenziale (per unità di massa):  $V(x) = - \int \varphi(x) dx$

La somma  $E = T + V$  è l'energia totale e poiché  $\dot{E} = 0$ ,  $E$  è un integrale del moto, è l'integrale

(\*\*) segue « Appunti per il corso di Fisica Matematica », A.A. 2008-2009, di G. Benettin; « Introduzione ai sistemi dinamici », di U. Milani

dell'energia. In effetti data  $f(x) \in C^1(\mathbb{R}) \exists V(x) \in C^2(\mathbb{R})$  tale che

$$f(x) = -\frac{dV}{dx}(x) = -V'(x)$$

$$\text{e } \ddot{x} = -V'(x) \quad \text{ov } \begin{cases} \dot{x} = v \\ \dot{v} = -V'(x) \end{cases}$$

Poiché la funzione  $E(x, v)$  è un integrale primo del moto (cioè è costante su ogni soluzione), se si fissa il suo valore  $\hat{E}$  l'equazione della curva di livello  $E(x, v) = \hat{E}$  definisce implicitamente una relazione tra  $x$  e  $v$ ; per esempio si può ricavare  $v$  in funzione di  $x$

$$v = \pm \sqrt{2(\hat{E} - V(x))}$$

La funzione  $v = v(x)$  così ricavata è ben definita e regolare (di classe  $C^1$ ) per  $v \neq 0$  (chiaramente risulta che i punti  $x \in \mathbb{R}$  accessibili al moto sono quelli per cui  $\hat{E} - V(x) \geq 0$ ), scegliendo opportunamente il segno davanti alla radice secondo il segno di  $v$ . Ricordando inoltre che  $v = \frac{dx}{dt}$  si ha allora l'equazione differenziale del primo ordine nell'incognita  $x(t)$

$$\frac{dx}{dt} = \pm \sqrt{2(\hat{E} - V(x))}$$

che è un'equazione differenziale a variabili separabili, la cui soluzione si può ottenere mediante una quadratura

$$t(x) - t_0 = \pm \int_{x_0}^x \frac{d\tilde{x}}{\sqrt{2(\hat{E} - V(\tilde{x}))}} \quad \text{con } x(t_0) = x_0$$

La soluzione richiede però la legge oraria del moto, cioè la relazione  $x = x(t)$ , che è espressa dalla funzione inversa. L'esistenza della funzione inversa richiede che la funzione  $t = t(x)$  sia monotona, cioè che  $\dot{x}$  non cambi segno.

Si vince che il sistema è integrabile nel senso che la soluzione è definita da equazioni finite (non contenenti le derivate) che però possono coinvolgere una funzione implicita, una quadratura e una funzione inversa.

Il comportamento qualitativo delle soluzioni, più precisamente delle traiettorie, nel piano delle fasi  $(x, v)$ , può essere descritto globalmente tracciando le curve di livello della funzione energia  $E(x, v)$ . Per tracciarle basta lo studio geometrico della funzione  $E: \mathbb{R}^2 \rightarrow \mathbb{R}$  senza alcun bisogno di risolvere l'equazione differenziale.

Oscillatore armonico  $\ddot{x} = -\omega^2 x, \quad V(x) = -\int -\omega^2 x dx = \frac{\omega^2 x^2}{2}$

le curve di livello  $E(x, v) = \frac{v^2}{2} + \frac{\omega^2 x^2}{2} = \hat{E}$  per ogni valore della costante  $\hat{E} > 0$

sono ellissi centrate nell'origine che degenerano nell'origine stessa per  $\hat{E} = 0$

Repulsore armonico  $\ddot{x} = \omega^2 x$ ,  $V(x) = -\frac{\omega^2 x^2}{2}$

Le curve di livello  $E(x, v) = \frac{v^2}{2} - \frac{\omega^2 x^2}{2} = \hat{E}$  per ogni  $\hat{E} \neq 0$  sono iperboli centrate nell'origine, con i fuochi sull'asse  $v$  per  $\hat{E} > 0$  ( $v$  non si annulla mai) e sull'asse  $x$  per  $\hat{E} < 0$  ( $x$  non si annulla mai); per  $\hat{E} = 0$  si ha il caso degenero di una coppia di rette  $v = \pm \omega x$  che fanno da asintoti a tutte le iperboli

(vedere figura 1 a pagina 22)

Particella libera  $\ddot{x} = 0$

La velocità  $v$  si conserva pertanto le traiettorie sono rette parallele all'asse  $x$

(vedere figura 1 a pagina 22)

Nei tre disegni di figura 1 sono state inserite frecce a indicare il verso di percorrenza delle traiettorie, univocamente determinato dal fatto che  $\dot{x} > 0$  e dunque  $x$  è crescente nel semipiano  $v > 0$ , e viceversa nel piano  $v < 0$  (si ricordi infatti che per i sistemi meccanici che stiamo studiando  $\dot{x} = v$ ).

L'immagine dell'insieme delle traiettorie nello spazio delle fasi di un sistema è detto ritratto in fase del sistema.

Definiamo i punti o configurazioni di equilibrio del sistema conservativo ad un grado di libertà

$$\begin{cases} \dot{x} = v \\ \dot{v} = -V'(x) \end{cases}$$

le coppie  $(\bar{x}, 0)$  con  $\bar{x}$  tale che  $V'(\bar{x}) = 0$ .

Si vede dunque che i valori  $\bar{x}$  sono punti stazionari di  $V(x)$ , cioè punti di massimo o di minimo di  $V(x)$ .

#### Osservazione

Le curve di livello  $E(x, v) = \hat{E}$  incontrano la retta  $v = 0$  nei punti  $x^*$  in cui  $V(x^*) = \hat{E}$  con tangente verticale se  $f(x^*) \neq 0$  (cioè se  $(x^*, 0)$  non è un punto di equilibrio). Infatti, per ogni moto  $x(t)$ ,  $v(t)$  con  $v \neq 0$  resta definita una funzione  $v = \tilde{v}(x)$  tale che  $d\tilde{v}/dx = \dot{v}/\dot{x} = f(x)/v$  (cioè purché per  $\dot{x} \neq 0$  si inverta  $x(t)$  in  $t(x)$  che consente di scrivere  $\tilde{v}(t(x)) = \tilde{v}(x)$ ) e si vede che la derivata di  $\tilde{v}$  diverge se  $(x, v)$  tende a  $(x^*, 0)$  con  $f(x^*) \neq 0$ .

Definizione. I punti  $(x^*, 0)$  dove  $v$  si annulla senza che contemporaneamente si annulli  $f(x)$  sono chiamati punti di arresto

Se invece  $f(x^*) = 0$  la curva di livello non è regolare in  $(x^*, 0)$ .

#### Osservazione

Per la particella libera si dice che si ha un caso parabolico, per l'oscillatore armonico un caso ellittico e

per il repulsore armonico un caso iperbolico.

Il punto  $(0,0)$  è un punto di equilibrio sia dell'oscillatore armonico che del repulsore armonico;  $x=0$  è un punto di minimo di  $V(x)$  per l'oscillatore armonico e un punto di massimo di  $V(x)$  per il repulsore armonico. Nel primo caso si dice essere un centro, mentre nel secondo caso è chiamato colle o sella.

Il procedimento (fatto vedere nei tre esempi elementari della particella libera e dell'oscillatore/repulsore armonico) in cui si studiano in dettaglio le curve  $E(x,v) = \hat{E}$ , con  $E(x,v) = \frac{1}{2}v^2 + V(x)$  diventa faticoso se  $V$  è un po' complicata. L'andamento qualitativo si può sempre ottenere in modo semplice a partire dal grafico dell'energia potenziale (utilizzando la conoscenza del segno della sua derivata  $-f(x)$ )

Potenziale "a scodella" (questo è ad esempio il caso dell'oscillatore armonico)

(si veda la figura 2 a pagina 22)

Si fissi un qualsiasi valore di energia  $\hat{E}$  (superiore al minimo di  $V$ , qui preso uguale a 0)

- \* nei due punti in cui  $V(x) = \hat{E}$  si ha che l'energia cinetica  $K = v^2/2$  si annulla; corrispondentemente si hanno i due punti di arresto  $(x_1, 0)$  e  $(x_2, 0)$
- \* poiché deve essere  $K = \hat{E} - V \geq 0$ , il moto può svolgersi solo nell'intervallo  $[x_1, x_2]$  ove  $V \leq \hat{E}$
- \* all'interno di tale intervallo si ha  $v \neq 0$ ;  $v$  cresce in modulo fino al valore massimo in corrispondenza del minimo di  $V$ ,  $v$  decresce fino a 0 proseguendo verso l'altro punto di arresto
- \* per ogni  $x \in (x_1, x_2)$  sono possibili due valori opposti di  $v$ ,  $v = \pm \sqrt{2(\hat{E} - V(x))}$ , perciò la curva di livello è costituita da due rami che si incontrano nei punti di arresto
- \* come abbiamo già osservato nei punti di arresto la pendenza delle curve diventa infinita, derivando si ha

$$v'(x) = \mp \frac{V'(x)}{\sqrt{2(\hat{E} - V(x))}}$$

e nei punti di arresto il denominatore si annulla senza che si annulli anche il numeratore.

Ora consideriamo una generica funzione  $V(x)$  e qui precisamente un suo minimo locale (supponendo che esista). Sia  $x_0$  il punto di minimo corrispondente ( $f(x_0) = 0$ ), approssimando  $V(x)$  con il suo sviluppo di Taylor con centro  $x_0$  fino al secondo ordine si ha

$$E(x,v) = \frac{v^2}{2} + V(x_0) + V'(x_0)(x-x_0) + \frac{1}{2}V''(x_0)(x-x_0)^2 + o((x-x_0)^2)$$

$$\left\{ V'(x_0) = -f(x_0) = 0, V''(x_0) = -f'(x_0) > 0 \right\}$$

$$E(x,v) = \frac{v^2}{2} + V(x_0) - \frac{1}{2}f'(x_0)(x-x_0)^2 + \dots$$

Le curve di livello di  $E(x,v)$  corrispondenti a valori di  $E$  immediatamente superiori a  $E(x_0,0) = V(x_0)$  si chiudono attorno al minimo approssimativamente come ellissi

$$-f'(x_0)(x-x_0)^2 + v^2 = \text{cost} > 0$$

Potenziale «a montagna» (questo è ad esempio il caso del repulsore armonico)

(si veda la figura 3 a pagina 22)

Si prende il massimo di  $V$  nell'origine, con  $V(0) = 0$

- \* per  $E < 0$  ci sono due punti di arresto  $(x_1, 0), (x_2, 0)$ ; il requisito  $V(x) \leq E$  restringe il moto all'interno dell'intervallo  $(x_1, x_2)$
- \* per  $E > 0$  non ci sono punti di arresto:  $v$  in modulo diminuisce avvicinandosi al massimo di  $V$ , ma non si annulla mai
- \* per  $E = 0$  si ha un unico punto ove  $V = E$ , cioè  $v = 0$ , ed esso è il punto (qui l'origine) dove  $V$  è massimo. È un punto di equilibrio, la velocità aumenta all'allontanarsi da questo punto, e si hanno quattro rami di curva di livello (che per il repulsore armonico sono semirette) che fanno da supporto ad altrettanti moti, due entranti e due uscenti

Consideriamo una generica funzione  $V(x)$  per l'energia potenziale e un suo massimo non degenere. Sia  $x_0$  il punto di massimo corrispondente ( $V'(x_0) = 0$ ). Allora in un intorno della sella  $(x_0, 0)$  le curve di livello si comportano approssimativamente come le iperboli:

$$-V'(x_0)(x-x_0)^2 + v^2 = \text{cost} \quad \text{con } -V'(x_0) < 0$$

### Esempi

Si possono costruire graficamente in modo globale le curve di livello  $E(x, v) = c$  tracciando la retta  $y = c$  nel piano  $(x, y)$  e facendo corrispondere ad ogni punto del grafico  $y = V(x)$  che sta sotto la retta ( $y < c$ ) una coppia di punti nel piano  $(x, v)$  con la regola.

$$v = \pm \sqrt{2c - 2V(x)}$$

In questo modo si ottengono due archi di curva, simmetrici rispetto alla retta  $v = 0$ , il cui andamento come grafico  $v = v(x)$  rispecchia gli alti e i bassi del grafico  $y = V(x)$  (al contrario, per  $v > 0$ )

Nella figura 4 di pagina 22 si mostra il ritratto in fase per

- il potenziale cubico del tipo  $V(x) = \frac{1}{2}\omega^2 x^2 - \alpha x^3$  ( $\alpha > 0$ )

- un potenziale quartico a forma di doppia buca,  $\tilde{V}(x) = -\frac{1}{2}\omega^2 x^2 + \alpha x^4$  ( $\alpha > 0$ )

Si trovano subito i punti stazionari di  $V(x)$  e  $\tilde{V}(x)$

$$V(x): x(\omega^2 - 3\alpha x) = 0 \rightarrow x = 0, x = \omega^2/3\alpha \quad \text{con } \tilde{\alpha} = 3\alpha$$

$$\tilde{V}(x): x(-\omega^2 + 4\alpha x^2) = 0 \rightarrow x = 0, x = \pm \omega/(2\sqrt{\alpha})$$

I punti di equilibrio sono

$$V(x): (0, 0), (\omega^2/3\alpha, 0)$$

$$\tilde{V}(x): (0, 0), (\omega/(2\sqrt{\alpha}), 0), (-\omega/(2\sqrt{\alpha}), 0)$$

Si tracciano le separatrici per i livelli di energia pari ai massimi di  $V(x)$  e  $\tilde{V}(x)$

$$V''(x) = \omega^2 - 2\alpha x, \quad V''(0) = \omega^2 > 0, \quad V''(\omega^2/3\alpha) = -\omega^2 < 0 \quad x = \frac{\omega^2}{3\alpha} \text{ punto di massimo per } V(x)$$

$$\tilde{V}''(x) = -w^2 + 12\alpha x^2, \quad \tilde{V}''(0) = -w^2 < 0, \quad \tilde{V}''\left(\pm \frac{w}{2\sqrt{\alpha}}\right) = 2w^2 > 0 \quad x=0 \text{ punto di massimo per } \tilde{V}(x)$$

Infine si ha

$$V(x) \rightarrow +\infty \quad \text{per } x \rightarrow -\infty$$

$$V(x) \rightarrow -\infty \quad \text{per } x \rightarrow +\infty$$

e

$$\tilde{V}(x) \rightarrow +\infty \quad \text{per } x \rightarrow \pm\infty$$

Pendolo (si veda la Figura 5 a pagina 22)

L'equazione differenziale è  $\ddot{x} = -w^2 \sin x$ , con  $w^2 = g/l$  ( $g, l > 0$ )

L'energia potenziale risulta  $V(x) = -w^2 \cos x$  e l'integrale dell'energia è

$$E(x, v) = \frac{1}{2}v^2 - w^2 \cos x$$

I punti stazionari dell'energia potenziale sono  $x = m\pi$ . Per  $m$  pari  $V(x)$  ha un minimo (non degenere) e quindi i punti di equilibrio  $(x, v) = (2k\pi, 0)$  con  $k$  intero sono centri. Per  $m$  dispari  $V(x)$  ha un massimo (non degenere) e i punti di equilibrio  $(x, v) = ((2k+1)\pi, 0)$  sono selle.

Localmente attorno ai minimi e ai massimi di  $V$  l'andamento è simile, rispettivamente, a quello dell'oscillatore e del repulsore armonico.

Si tracciano per prime le curve di livello  $E(x, v) = w^2$ , che è il massimo di  $V$ . Le corrispondenti traiettorie connettono i punti di equilibrio "sella" e supportano moti che asintoticamente per  $t \rightarrow \pm\infty$  tendono a questi punti, in un verso o nell'altro a seconda del segno di  $v$ . Tali curve si chiamano separatrici e dividono il piano di fase in regioni con proprietà diverse:

- regione delle librazioni del pendolo che si ha per  $-w^2 < E < w^2$

- due regioni delle rotazioni che si hanno per  $E > w^2$

Nella prima regione le traiettorie sono curve chiuse che circondano ciascun centro, mentre per  $E > w^2$  si ottengono due curve, una contenuta tutta nel semipiano  $v > 0$  e una tutta nel semipiano  $v < 0$ .

Potenziale caratteristico del moto centrale

$$V(x) = -\frac{\alpha}{x} + \frac{\beta}{x^2} \quad \text{che si incontra nello studio del moto centrale con potenziale Kepleriano}$$

Il moto centrale si svolge in un piano ed è descritto da coordinate polari piane  $r, \vartheta$  che sono legate alle coordinate cartesiane dalle relazioni

$$x = r \cos \vartheta, \quad y = r \sin \vartheta$$

L'energia cinetica diventa

$$K(r, \vartheta) = \frac{1}{2} (\dot{r}^2 + r^2 \dot{\vartheta}^2)$$

Inoltre il momento angolare  $l = r^2 \dot{\vartheta}$  si conserva, ricavando  $\dot{\vartheta}$  e sostituendo si trova

21)

$$K = \frac{1}{2} (\dot{r}^2 + l^2/r^2) \text{ e per l'energia}$$

$$E(r, \dot{r}; l) = \frac{1}{2} \dot{r}^2 + \frac{l^2}{2r^2} + V(r)$$

dove  $l$  va pensato come parametro e  $V(r)$  è l'energia potenziale del problema di moto centrale considerato,  $V(r) = -\alpha/r$ ,  $\alpha > 0$  nel caso kepleriano.

Ci si ritrova così un problema ad un solo grado di libertà per la coordinata radiale  $r$  con

- energia cinetica efficace  $\frac{1}{2} \dot{r}^2$
- energia potenziale efficace  $V(r; l) = V(r) + l^2/(2r^2)$ , che è della forma mostrata all'inizio con  $\beta = l^2/2$  e  $x \equiv r$

Il grafico di  $V(r)$  e il ritratto in fase di questo sistema (per  $l \neq 0$ ) sono riportati nella figura 6 a pagina 22. È opportuno fare attenzione alla curva di livello relativa a  $E = 0$  che gioca il ruolo di separatrice. Essa divide i moti con  $r$  limitato che si hanno per  $E < 0$  dai moti con  $r$  non limitato che si trovano per  $E > 0$ . Per il caso kepleriano si tratta rispettivamente dei moti ellittici e iperbolici. Il punto di equilibrio di tipo centro in corrispondenza del minimo di  $V$  rappresenta i moti circolari ( $r$  è costante).

### Osservazione

In tutti i casi mostrati i moti sulle separatrici convergono ai punti di equilibrio asintoticamente per  $t \rightarrow \pm \infty$ ; se infatti si potesse raggiungere un punto di equilibrio in un tempo finito  $t^*$  si avrebbe che due diversi movimenti, quello sulla separatrice e il moto stazionario corrispondente all'equilibrio, coinciderebbero a  $t = t^*$ , contro il teorema di Cauchy (nella parte di unicità).

### Trattazione analitica completa

Il ritratto in fase contiene una descrizione dettagliata del moto, a meno del tempo di percorrenza di ciascuna traiettoria.

Ritorniamo al tempo di percorrenza del tratto di traiettoria corrispondente alla curva di livello

$$E(x, \dot{x}) = \hat{E}, \text{ che congiunge i punti } (x_1, \dot{x}_1) \text{ e } (x_2, \dot{x}_2)$$

$$t_2 - t_1 = \pm \int_{x_1}^{x_2} \frac{dx}{\sqrt{2(\hat{E} - V(x))}}$$

dove  $x_1$  e  $x_2$  sono i valori della coordinata  $x$  ai tempi  $t_1$  e  $t_2$ .

In un punto di inversione  $x^*$  l'integrando diverge (dato che  $\hat{E} = V(x^*)$ ). Tuttavia, essendo  $V'(x^*) \neq 0$  è facile verificare che l'integrale è finito, infatti

$$\sqrt{2(V(x^*) - V(x))} = \sqrt{-2V'(x^*)(x - x^*) + \dots} \approx \text{cost} \sqrt{|x - x^*|}$$

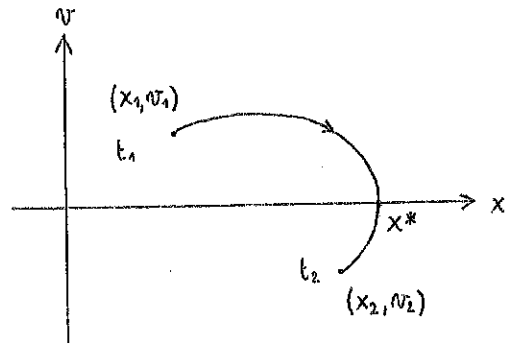
e per  $x \rightarrow x^*$  non si ha divergenza. Se invece ci avviciniamo ad un massimo  $\tilde{x}$  di  $V$ , cioè ci muoviamo lungo una separatrice verso un punto di equilibrio di tipo sella, l'integrando diverge più in fretta: questa volta  $V'(\tilde{x}) = 0$  pertanto

$$\sqrt{2(V(\tilde{x}) - V(x))} = \sqrt{-V''(\tilde{x})(x - \tilde{x})^2 + \dots} \approx \text{cost} |x - \tilde{x}|$$

e l'integrale ha una divergenza logaritmica (più rapida ancora se  $V''(\tilde{x}) = 0$ ). Si verifica così in modo analitico che è infinito il tempo necessario per raggiungere una sella lungo una separatrice.

Se una curva di livello  $E(x, v) = \hat{E}$  passa per un punto di inversione  $(x^*, 0)$  il tempo necessario perché la soluzione vada da  $(x_1, v_1)$  a  $(x_2, v_2)$  con, ad esempio,  $v_1 > 0$  e  $v_2 < 0$  sarà dato dalla somma di due integrali

$$t_2 - t_1 = \int_{x_1}^{x^*} \frac{dx}{\sqrt{2(\hat{E} - V(x))}} - \int_{x^*}^{x_2} \frac{dx}{\sqrt{2(\hat{E} - V(x))}}$$

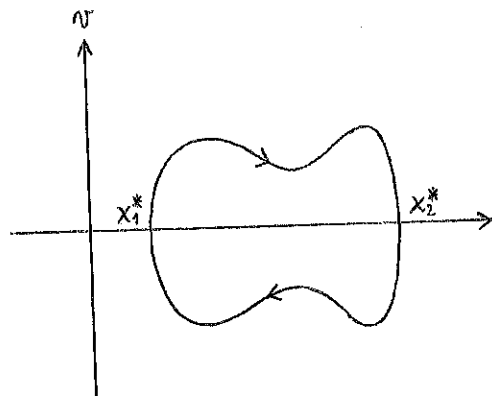


### Orbite periodiche

Il caso più importante dell'applicazione di questo procedimento di calcolo della legge oraria "a tratti" è quello del calcolo dei periodi.

Se  $x_1^*$  e  $x_2^*$  sono due punti di inversione per un certo livello di energia ( $V(x_1^*) = V(x_2^*)$ ) e sono tali che nell'intervallo  $x_1^* < x < x_2^*$  vale sempre  $V(x) < V(x_1^*)$  allora esistono due curve definite per  $x_1^* < x < x_2^*$  (simmetriche rispetto all'asse x) e l'insieme dei punti di queste curve è la traiettoria che fa da supporto al moto con condizione iniziale ad esempio in  $(x_1^*, 0)$ . Ogni soluzione passante per questo punto è un'orbita periodica. Il periodo è il tempo necessario per ritornare in  $(x_1^*, 0)$  partendo dallo stesso punto, quindi è espresso dalla somma

$$P = \int_{x_1^*}^{x_2^*} \frac{dx}{\sqrt{2(\hat{E} - V(x))}} - \int_{x_2^*}^{x_1^*} \frac{dx}{\sqrt{2(\hat{E} - V(x))}} = 2 \int_{x_1^*}^{x_2^*} \frac{dx}{\sqrt{2(\hat{E} - V(x))}}$$



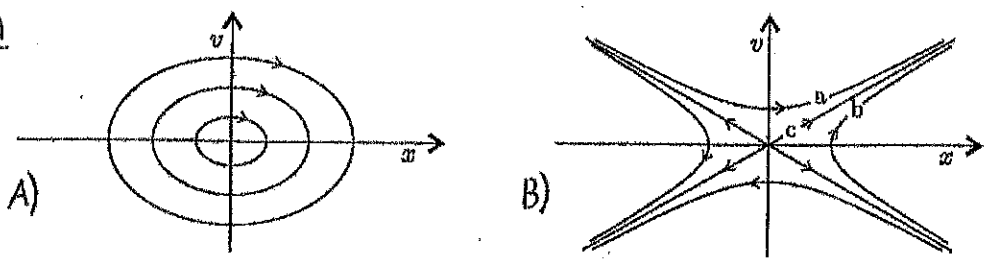
### Esempio: oscillatore armonico

$V(x) = \frac{1}{2} \omega^2 x^2$ , fissato il livello di energia  $\hat{E} > 0$ , siano  $x^*$  e  $-x^*$  i due punti di inversione

Allora il periodo è



FIGURA 1



Ritratto in fase per  
 A) oscillatore armonico  
 B) repulsore armonico  
 C) particella libera

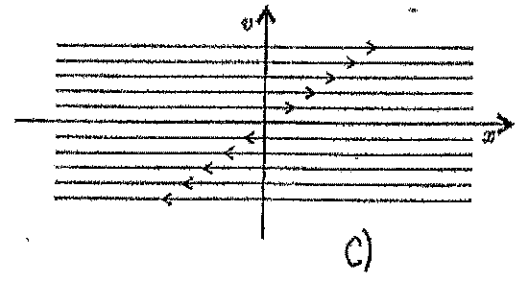


FIGURA 2

Ritratto in fase per  
 un potenziale con un  
 minimo nell'origine

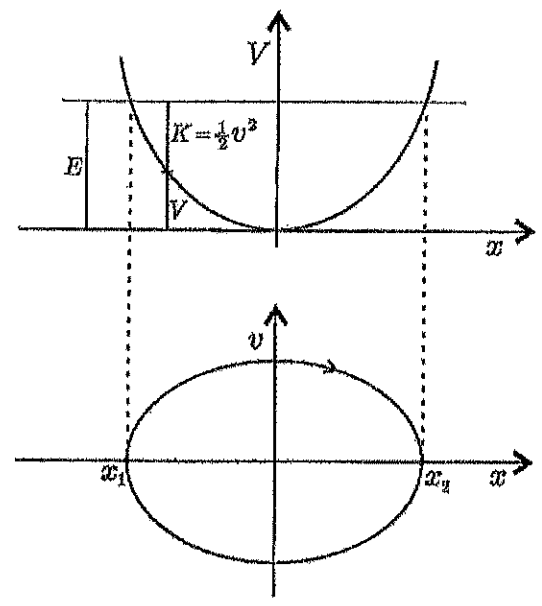
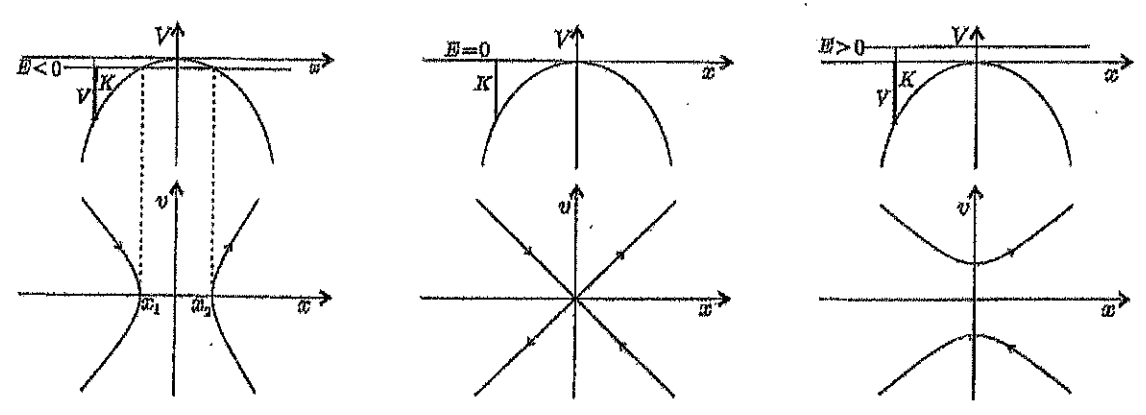


FIGURA 3 Ritratto in fase per un potenziale con un massimo nell'origine



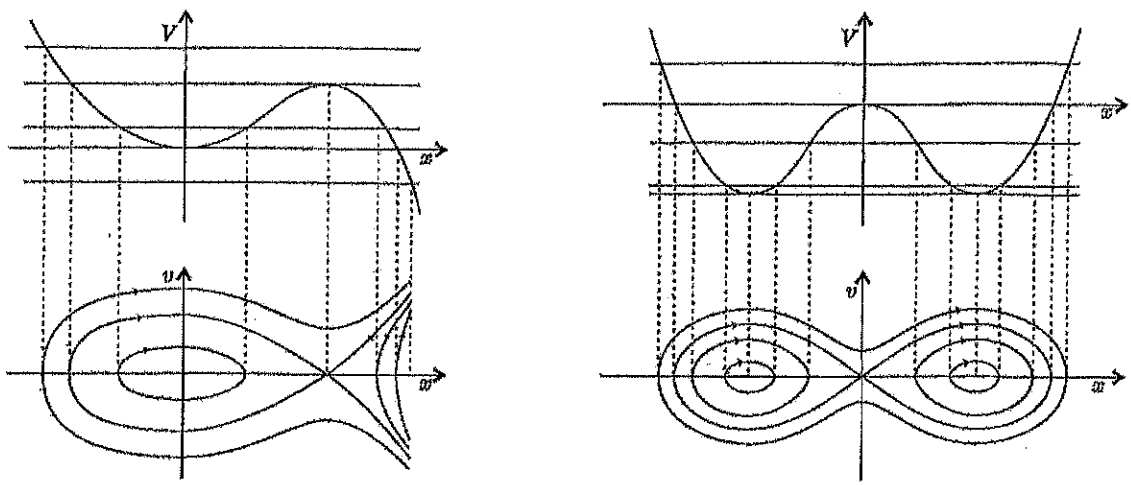


FIGURA 4 Grafico dell'energia potenziale e ritratto in fase per  $V(x) = w^2 x^2 / 2 - \alpha x^3, \alpha > 0$  (a sinistra) e  $V(x) = -w^2 x^2 / 2 + \alpha x^4, \alpha > 0$  (a destra)

FIGURA 5

Grafico dell'energia potenziale e ritratto in fase del pendolo

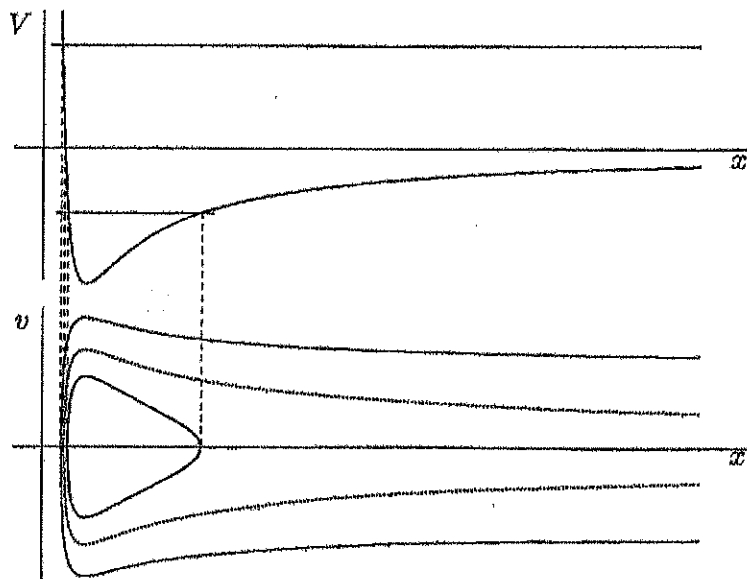
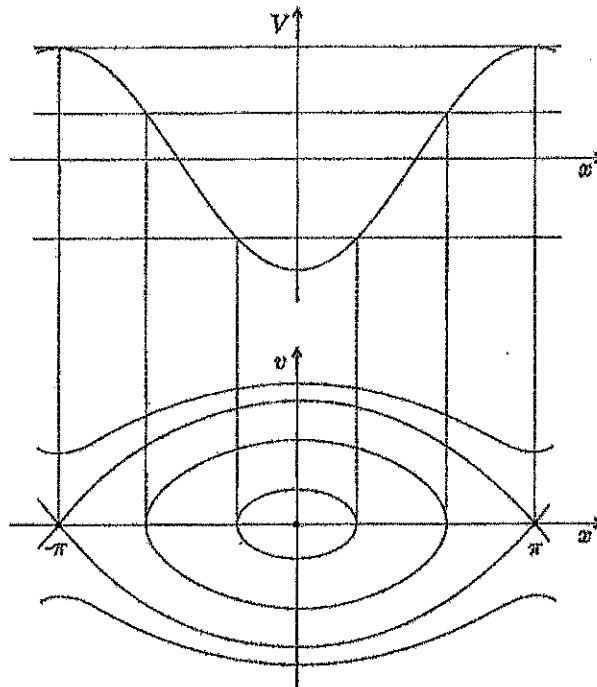


FIGURA 6

Grafico dell'energia potenziale e ritratto in fase per  $V(x) = -\alpha/x + \beta/x^2$

$$P = 2 \int_{-x^*}^{x^*} \frac{dx}{\sqrt{2(\hat{E} - V(x))}} = 4 \int_0^{x^*} \frac{dx}{\sqrt{2(\hat{E} - V(x))}}$$

per la simmetria di  $V(x)$  rispetto all'asse delle ordinate

$$\hat{E} = V(x^*) = V(-x^*) = \frac{1}{2} \omega^2 (x^*)^2$$

L'integrale da risolvere è improprio, si ha

$$P = 4 \lim_{\epsilon \rightarrow 0^+} \int_0^{x^* - \epsilon} \frac{dx}{\omega \sqrt{(x^*)^2 - x^2}} = \frac{4}{\omega} \lim_{\epsilon \rightarrow 0^+} \operatorname{atan} \frac{x}{\sqrt{(x^*)^2 - x^2}} \Big|_0^{x^* - \epsilon} =$$

$$= \frac{4}{\omega} \lim_{\epsilon \rightarrow 0^+} \operatorname{atan} \frac{x^* - \epsilon}{\sqrt{\epsilon(2x^* - \epsilon)}} = \frac{4}{\omega} \frac{\pi}{2} = \frac{2\pi}{\omega}$$

Campo centrale armonico

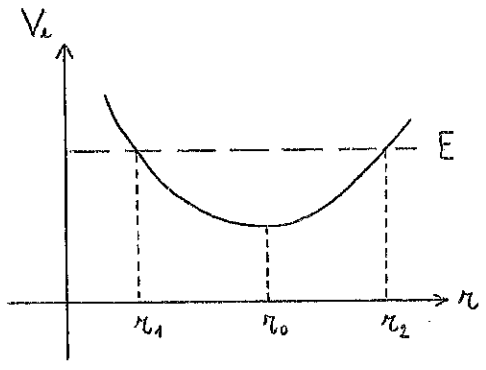
Dato il potenziale centrale armonico  $V(r) = kr^2$ ,  $k > 0$ , mostrare che se il momento angolare è diverso da zero tutte le orbite sono chiuse e limitate e hanno la forma di un'ellisse

Il potenziale efficace assume la forma

$$V_e(r) = kr^2 + \frac{l^2}{2\bar{m}r^2} \quad (\bar{m} = \text{massa del punto})$$

$$\lim_{r \rightarrow 0^+} V_e = \lim_{r \rightarrow +\infty} V_e = +\infty$$

$$V_e' = 2kr - \frac{l^2}{\bar{m}r^3}, \quad V_e' = 0 \iff 2k\bar{m}r^4 = l^2, \quad r = \left(\frac{l^2}{2k\bar{m}}\right)^{1/4} = r_0$$



$$V_e(r_0) = \sqrt{\frac{2kl^2}{\bar{m}}} = E_0$$

Per ogni valore di  $E > E_0$  l'equazione  $E - V_e(r) = 0$  ha due radici  $r_1$  e  $r_2$ , infatti

$$E - k r^2 - \frac{l^2}{2\bar{m} r^2} = 0 \iff 2\bar{m} E r^2 - 2k\bar{m} r^4 - l^2 = 0$$

ma  $t = r^2$  allora si ha  $2k\bar{m} t^2 - 2\bar{m} E t + l^2 = 0$

$$t_{1,2} = \frac{E}{2k} \pm \sqrt{\left(\frac{E}{2k}\right)^2 - \frac{l^2}{2k\bar{m}}} = \frac{E}{2k} \left(1 \pm \sqrt{1 - \frac{(2k)^2 l^2}{2k\bar{m} E^2}}\right)$$

$$= \frac{E}{2k} \left(1 \pm \sqrt{1 - \left(\frac{E_0}{E}\right)^2}\right) \quad \text{dove ricordiamo che } E > E_0$$

le due radici assumono le espressioni

$$r_{1,2} = \sqrt{\frac{E}{2k}} \sqrt{1 \pm \sqrt{1 - \left(\frac{E_0}{E}\right)^2}}$$

Facciamo che

$$\frac{dr}{dt} = \sqrt{\frac{2}{\bar{m}} (E - V_e)} \quad \text{da cui} \quad \frac{dr}{d\theta} = r^2 \sqrt{\frac{2\bar{m}}{l^2} (E - V_e)} \quad \text{dove si è usata la relazione } \frac{d\theta}{dt} = \frac{l}{r^2 m}$$

Integrando per separazione di variabili si ha

$$\theta - \bar{\theta} = \int_{\bar{r}}^{r(\theta)} \frac{dr}{r^2 \sqrt{\frac{2\bar{m}}{l^2} (E - V_e)}} = \int_{\bar{r}}^{r(\theta)} \frac{dr}{r^2 \sqrt{\frac{2\bar{m} E}{l^2} - \frac{r^2}{r_0^2} - \frac{1}{r^2}}}, \quad \theta(0) = \bar{\theta}, \quad r(0) = \bar{r}$$

dove il dato iniziale è scelto in modo che  $\frac{dr}{dt} > 0$ , inoltre si ha  $r(\theta') < r_2 \quad \forall \bar{\theta} \leq \theta' \leq \theta$ .

Operiamo la sostituzione  $\rho = 1/\sqrt{w}$  ( $\rho^2 = 1/w$ ), si può riscrivere l'integrale come

$$\theta - \bar{\theta} = -\frac{1}{2} \int_{\bar{w}}^{w(\theta)} \frac{d\tilde{w}}{\sqrt{\left(\frac{2\bar{m} E \tilde{w}}{l^2}\right) - \tilde{w}^2 - \frac{1}{\tilde{w}^2}}} \quad \left(\text{notare che } \frac{dr}{\rho^2} = -\frac{1}{2\sqrt{w}} dw\right)$$

dove  $\bar{w} = \frac{1}{\bar{r}^2}$ ,  $w_1 \leq \bar{w} \leq w_2$  con  $w_1 = \frac{1}{r_2^2}$ ,  $w_2 = \frac{1}{r_1^2}$

Osservando che  $\frac{1}{\bar{r}^2} = w_1 w_2$  e  $\frac{2\bar{m} E}{l^2} = w_1 + w_2$  abbiamo

$$\theta - \bar{\theta} = \frac{1}{2} \int_{w(\theta)}^{\bar{w}} \frac{d\tilde{w}}{\sqrt{(\tilde{w} - w_1)(w_2 - \tilde{w})}}$$

È possibile scegliere l'asse rispetto a cui si misura l'angolo  $\theta$  in modo tale che  $r(\theta=0) = r_1$ , dunque si ha

$$\bar{\omega} = \omega_2 \text{ e}$$

$$\theta = \frac{1}{2} \int_{\omega(\theta)}^{\omega_2} \frac{d\omega}{\sqrt{(\bar{\omega} - \omega_1)(\omega_2 - \omega)}}$$

Applichiamo l'ulteriore cambiamento di variabile

$$z = \omega - \omega_1, \text{ da cui}$$

$$\theta = \frac{1}{2} \int_{\omega(\theta) - \omega_1}^{\omega_2 - \omega_1} \frac{dz}{\sqrt{z(\omega_2 - \omega_1 - z)}}$$

$$\text{e } x = (\omega_2 - \omega_1)^{-1} z, \text{ da cui}$$

$$\theta = \frac{1}{2} \int_{\frac{\omega(\theta) - \omega_1}{\omega_2 - \omega_1}}^1 \frac{dx}{\sqrt{x(1-x)}}$$

Infine poniamo  $x = \sin^2 \alpha$  (in effetti vale  $0 \leq x \leq 1$ )

$$\theta = \frac{1}{2} \int_{\alpha(\theta)}^{\pi/2} \frac{2 \sin \alpha \cos \alpha d\alpha}{\sqrt{\sin^2 \alpha (1 - \sin^2 \alpha)}} = \int_{\alpha(\theta)}^{\pi/2} d\alpha = \frac{\pi}{2} - \alpha(\theta)$$

$$\text{dove } \alpha(\theta) = \arcsin \sqrt{x(\theta)} = \arcsin \sqrt{\frac{\omega(\theta) - \omega_1}{\omega_2 - \omega_1}}$$

$$\text{Da } \frac{\pi}{2} - \theta = \arcsin \sqrt{\frac{\omega(\theta) - \omega_1}{\omega_2 - \omega_1}} \text{ si ottiene } \cos^2 \theta = \frac{\omega(\theta) - \omega_1}{\omega_2 - \omega_1} = \left( \frac{1}{n^2(\theta)} - \frac{1}{n_1^2} \right) \left( \frac{1}{n_1^2} - \frac{1}{n_2^2} \right)^{-1} \rightarrow$$

$$\frac{1}{n^2(\theta)} = \frac{1}{n_1^2} + \frac{1}{2} \left( \frac{1}{n_1^2} - \frac{1}{n_2^2} \right) (1 + \cos 2\theta) = \frac{1}{2} \left( \frac{1}{n_1^2} + \frac{1}{n_2^2} \right) + \frac{1}{2} \left( \frac{1}{n_1^2} - \frac{1}{n_2^2} \right) \cos 2\theta, \text{ inoltre}$$

$$\frac{1}{n_1^2} + \frac{1}{n_2^2} = \frac{4kE}{E_0^2} \quad \frac{1}{n_1^2} - \frac{1}{n_2^2} = \frac{4kE}{E_0^2} \sqrt{1 - \left( \frac{E_0}{E} \right)^2}$$

$$\text{perci\u00f2 } \frac{1}{n^2(\theta)} = \frac{\bar{m}E}{\ell^2} \left( 1 + \sqrt{1 - \left( \frac{E_0}{E} \right)^2} \cos 2\theta \right) \quad (E_0^2 = 2k\ell^2/\bar{m})$$

Se definiamo  $A$  ed  $e$  come segue

$$A^2 = \frac{E_0^2}{2kE} = \frac{\ell^2}{\bar{m}E}, \quad e = \sqrt{1 - \left( \frac{E_0}{E} \right)^2} < 1$$

allora la distanza radiale come funzione di  $\theta$  assume l'espressione

$$r(\theta) = \frac{A}{\sqrt{1 + e \cos 2\theta}}$$

Al variare di  $\theta$  in  $[0, 2\pi)$  la formula precedente permette di tracciare un'ellisse con semiasse di lunghezza  $r_1$  e  $r_2$ . Introduciamo gli assi cartesiani  $x$  e  $y$  in modo che  $x = r \cos \theta$  e  $y = r \sin \theta$ . Valgono le relazioni

$$r^2 = x^2 + y^2, \quad r^2 \cos 2\theta = r^2 (\cos^2 \theta - \sin^2 \theta) = x^2 - y^2$$

che permettono di scrivere

$$A^2 = r^2 (1 + e \cos 2\theta) = (x^2 + y^2) + e(x^2 - y^2)$$

$$\rightarrow \frac{x^2}{A^2} (1+e) + \frac{y^2}{A^2} (1-e) = 1$$

Questa è l'equazione di un'ellisse con centro l'origine e semiasse  $a = \frac{A}{\sqrt{1-e}}$ ,  $b = \frac{A}{\sqrt{1+e}}$

$$a = \frac{l^2}{mE} \frac{1}{\sqrt{1-e}} = \frac{l^2}{mE} \frac{\sqrt{1+e}}{\sqrt{1-e^2}} = \frac{E}{2k} \sqrt{1+e} = r_2$$

$$b = \frac{l^2}{mE} \frac{1}{\sqrt{1+e}} = \frac{l^2}{mE} \frac{\sqrt{1-e}}{\sqrt{1-e^2}} = \frac{E}{2k} \sqrt{1-e} = r_1$$

$$e = \frac{\sqrt{a^2 - b^2}}{a} = \sqrt{\frac{2e}{1+e}} \quad (\text{eccentricità dell'ellisse})$$

### Esercizio

Un punto materiale di massa unitaria si muove in un campo di forze centrale

$$\vec{F}(\rho) = -\gamma^2 \left( \frac{4}{\rho^3} + \frac{a^2}{\rho^5} \right) \hat{e}_\rho, \quad \gamma, a \in \mathbb{R}^+$$

Inizialmente il punto è a distanza  $a$  dal centro di forza e ha una velocità perpendicolare al raggio vettore e di intensità  $3\gamma/(\sqrt{2}a)$ . Trovare l'equazione polare della traiettoria ed il tempo che impiega la particella a raggiungere il centro di forza.

$$\text{Sia } \phi(\rho) = -\gamma^2 \left( \frac{4}{\rho^3} + \frac{a^2}{\rho^5} \right)$$

$$V(\rho) = -\int \phi(\rho) d\rho = \gamma^2 \int \left( \frac{4}{\rho^3} + \frac{a^2}{\rho^5} \right) d\rho = \gamma^2 \left( -\frac{2}{\rho^2} - \frac{a^2}{4\rho^4} \right)$$

$$V_{\text{eff}}(\rho) = -\gamma^2 \left( \frac{2}{\rho^2} + \frac{a^2}{4\rho^4} \right) + \frac{l^2}{2\rho^2} = \frac{2(l^2 - 4\gamma^2)\rho^2 - \gamma^2 a^2}{4\rho^4}$$

$$\lim_{\rho \rightarrow 0^+} V_{\text{eff}}(\rho) = -\infty$$

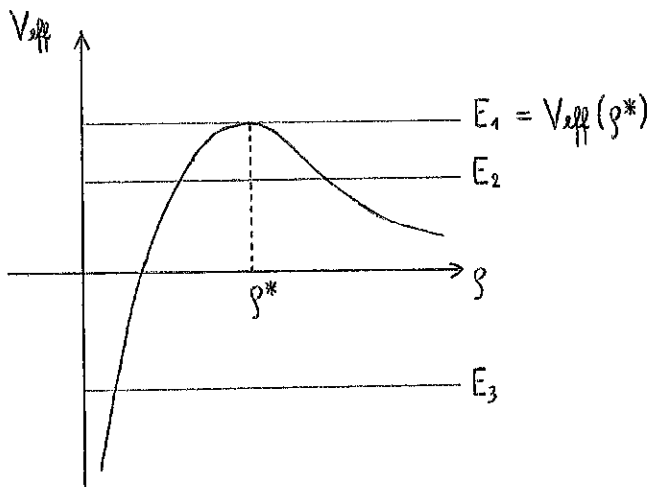
$$\lim_{\rho \rightarrow +\infty} V_{\text{eff}}(\rho) = \begin{cases} 0 & \text{per valori positivi se } l^2 - 4\gamma^2 > 0 \\ 0 & \text{per valori negativi se } l^2 - 4\gamma^2 \leq 0 \end{cases}$$

$$V'_{\text{eff}}(\rho) = -\gamma^2 \left( -\frac{4}{\rho^3} - \frac{a^2}{\rho^5} \right) - \frac{l^2}{\rho^3} = \frac{4\gamma^2 \rho^2 + \gamma^2 a^2 - l^2 \rho^2}{\rho^5} = \frac{(4\gamma^2 - l^2)\rho^2 + \gamma^2 a^2}{\rho^5}$$

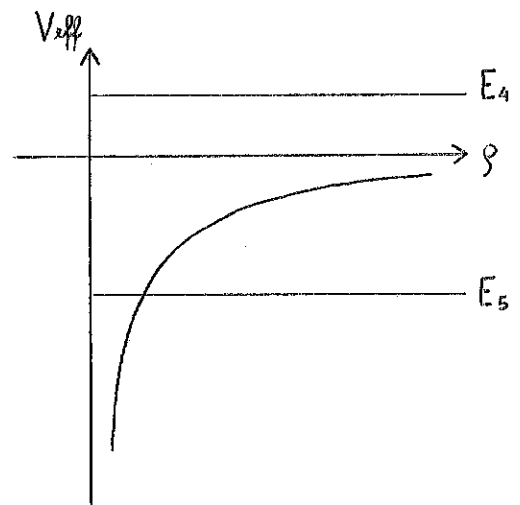
$$V'_{\text{eff}}(\rho) = 0 \quad \exists \text{ soluzione } \Leftrightarrow 4\gamma^2 - l^2 < 0 \Leftrightarrow l^2 - 4\gamma^2 > 0$$

$$\rho^* = \frac{\gamma a}{\sqrt{l^2 - 4\gamma^2}}$$

$$a) \quad l^2 - 4\gamma^2 > 0$$



$$b) \quad l^2 - 4\gamma^2 < 0$$



Ricaviamo dalle condizioni iniziali il modulo del momento angolare  $l$  (che è costante)

$$l = a \frac{3\gamma}{\sqrt{2}a} = \frac{3\gamma}{\sqrt{2}}$$

$$\rightarrow l^2 = \frac{9}{2}\gamma^2, \quad l^2 - 4\gamma^2 = \frac{\gamma^2}{2} > 0 \quad (\text{siamo nel caso } a)$$

Calcoliamo l'integrale dell'energia dalle condizioni iniziali

$$E = \frac{1}{2} \dot{\rho}^2 + V_{\text{eff}}(\rho) = \frac{1}{2} \dot{\rho}(0)^2 + V_{\text{eff}}(\rho(0)) \quad (\text{vale } \dot{\rho}(0)=0) = \frac{\overbrace{2(\gamma^2/2)a^2 - \gamma^2 a^2}^{V_{\text{eff}}(a)=0}}{4a^2} = 0$$

Calcoliamo  $V_{\text{eff}}(\rho^*)$

$$E_1 = V_{\text{eff}}(\rho^*) = \frac{1}{4(\rho^*)^4} \left[ 2 \frac{(l^2 - 4\gamma^2)\gamma^2 a^2}{(l^2 - 4\gamma^2)} - \gamma^2 a^2 \right] = \frac{(l^2 - 4\gamma^2)^2}{4(\gamma a)^4} (\gamma a)^2 = \frac{1}{16} \frac{\gamma^2}{a^2}$$

Si vede che  $E < E_1$ .

Utilizziamo l'equazione delle orbite scritta in questa forma

$$\frac{d^2 u}{d\theta^2} = -\frac{1}{l^2} \frac{d}{du} V_{\text{eff}}(1/u)$$

(vediamo come si ricava; ricordiamo che  $\frac{dr}{dt} = \pm \sqrt{2(E - V_{\text{eff}}(r))}$ , segue che  $\frac{d^2 r}{dt^2} = -\frac{dV_{\text{eff}}}{dr}$ , poi

$$\frac{dr}{dt} = -l \frac{du}{d\theta} \quad \text{e} \quad \frac{d^2 r}{dt^2} = -l^2 u^2 \frac{d^2 u}{d\theta^2}, \quad \text{infine} \quad \frac{dV_{\text{eff}}}{dr} = -u^2 \frac{dV_{\text{eff}}}{du}$$

L'energia potenziale efficace in funzione di  $u$  (e per il particolare valore di  $l^2$  di questo problema) diventa

$$V_{\text{eff}}(u) = \frac{\gamma^2}{4} (u^2 - a^2 u^4)$$

$$\frac{d}{du} V_{\text{eff}} = \frac{\gamma^2}{2} (u - 2a^2 u^3) \quad \text{è la derivata}$$

L'equazione differenziale diventa

$$\frac{d^2 u}{d\theta^2} = -\frac{2}{9\gamma^2} \frac{\gamma^2}{2} (u - 2a^2 u^3) \rightarrow \frac{d^2 u}{d\theta^2} = \frac{2}{9} a^2 u^3 - \frac{u}{9}$$

che è un'equazione differenziale nonlineare del secondo ordine.

$$\text{Poniamo } v = \frac{du}{d\theta} \Rightarrow \frac{d^2 u}{d\theta^2} = \frac{dv}{d\theta} = \frac{dv}{du} \frac{du}{d\theta} = v \frac{dv}{du}$$

$$\Rightarrow v \frac{dv}{du} = \frac{2}{9} a^2 u^3 - \frac{u}{9} \quad \text{che è un'equazione differenziale del primo ordine in } v(u)$$

$$\int v dv = \int \left( \frac{2}{9} a^2 u^3 - \frac{1}{9} u \right) du \Rightarrow \frac{v^2}{2} = \frac{1}{18} a^2 u^4 - \frac{1}{18} u^2 + c_1$$

$$v^2 = \frac{1}{9} a^2 u^4 - \frac{u^2}{9} + c_2$$

Proviamo di calcolare  $c_2$ . Prendiamo la retta  $\theta = 0$  e supponiamo che all'inizio del moto il punto sia su tale retta

$$t = 0, \quad \varphi(0) = a, \quad u = 1/a$$

$$\dot{\varphi}(0) = 0, \quad v = \frac{du}{d\theta} = -\frac{1}{\varphi^2} \frac{d\varphi}{d\theta} = -\frac{1}{\varphi^2} \frac{\dot{\varphi}}{\dot{\theta}}, \quad v(0) = 0$$

$$0^2 = \frac{1}{9} a^2 \left(\frac{1}{a}\right)^4 - \frac{1}{9} \left(\frac{1}{a}\right)^2 + c_2 \rightarrow c_2 = 0$$

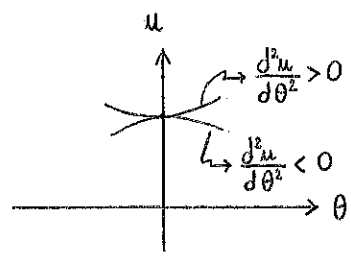
$$v^2 = \frac{u^2}{9} (u^2 a^2 - 1) \rightarrow v = \pm \frac{u}{3} \sqrt{a^2 u^2 - 1} = \frac{du}{d\theta}$$

per scegliere il segno corretto guardiamo il segno della derivata seconda  $\frac{d^2 u}{d\theta^2}$  all'istante iniziale



$$\left. \frac{d^2 u}{d\theta^2} \right|_{t=0} = \frac{1}{9a} > 0$$

segue che (si veda la figura)  $u$  deve curvare con  $\theta$ , quindi



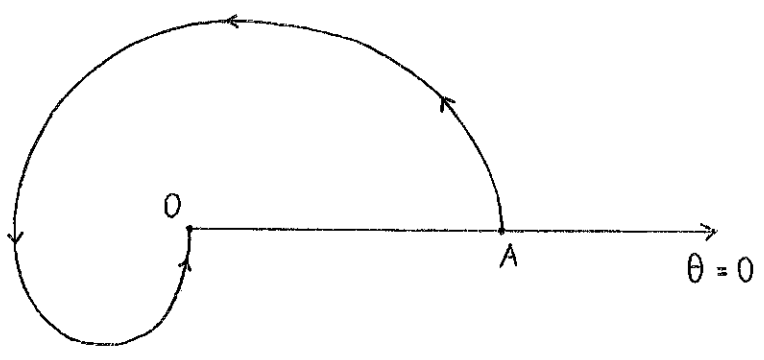
$$v = \frac{du}{d\theta} = \frac{1}{3} u \sqrt{a^2 u^2 - 1}$$

Integriamo per separazione di variabili

$$\theta = 3 \int \frac{du}{u \sqrt{a^2 u^2 - 1}} = -3 \int \frac{d\rho}{\sqrt{a^2 - \rho^2}} = -3 \int \frac{d\rho}{a \sqrt{1 - (\rho/a)^2}} \rightarrow$$

$$\rho = \frac{1}{u}, \quad du = -\frac{1}{\rho^2} d\rho$$

$$\theta = 3 \arccos(\rho/a) \qquad \rho = a \cos(\theta/3) \text{ che \u00e9 l'equazione polare dell'orbita}$$



$$\rho = 0 \iff \theta = \frac{3}{2}\pi$$

Per calcolare il tempo per raggiungere  $\rho = 0$  si utilizza la conservazione del momento angolare

$$\rho^2 \dot{\theta} = \frac{3\gamma}{\sqrt{2}} \implies a^2 \cos^2(\theta/3) \dot{\theta} = \frac{3\gamma}{\sqrt{2}}$$

$$a^2 \int_0^{3\pi/2} \cos^2(\theta/3) d\theta = \frac{3\gamma}{\sqrt{2}} \int_0^T dt$$

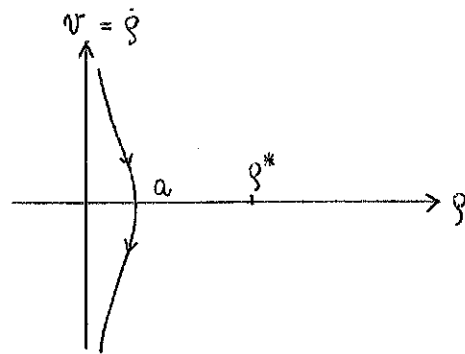
$$T = \frac{\sqrt{2}}{3\gamma} a^2 \int_0^{3\pi/2} \cos^2(\theta/3) d\theta = \frac{\sqrt{2}}{3\gamma} a^2 \int_0^{\pi/2} \cos^2 s ds = \frac{\sqrt{2} a^2}{\gamma} \int_0^{\pi/2} \frac{\cos 2s + 1}{2} ds =$$

$$s = \theta/3 \quad ds = d\theta/3$$

$$= \frac{\sqrt{2} a^2}{2\gamma} \left[ \frac{\sin 2t}{2} + t \right]_0^{\pi/2} = \frac{\sqrt{2} a^2}{2\gamma} \frac{\pi}{2} = \frac{\sqrt{2}}{4} \frac{a^2}{\gamma} \pi$$

NOTA (sull'esercizio precedente)

Per  $\varphi = a$  si ha  $V_{\text{eff}}(a) = 0$  e la curva di livello che si riferisce ad  $E = 0$  è



La condizione iniziale è il punto  $(a, 0)$  da cui si vede che  $\varphi$  diminuisce nel tempo e per  $t = T$  si ottiene  $\varphi = 0$ .